

и задаётся аномальными размерностями моментов. Вычисление значений аномальных размерностей предсказывает, в частности, что с ростом Q^2 ф-ции распределения логарифмически падают в области $x \geq 0,2$, и логарифмически возрастают в области $x < 0,2$. Такое поведение действительно наблюдалось экспериментально (рис. 2).

Для Г. н. п. рассеяния нейтрино (ν) и антинейтрино ($\bar{\nu}$) на протоне сечения имеют вид

$$\frac{d^2\sigma^\nu}{dx dy} = \sigma_0 [(1 - y - mx/2\mathcal{E}) F_2^\nu(x, Q^2) + y^2 x F_1^\nu(x, Q^2) \pm (y - y^2/2) x F_3^\nu(x, Q^2)],$$

где $F_{1,2,3}^\nu$ — структурные ф-ции Г. н. п. В модели партона (в пренебрежении малым вкладом процессов с

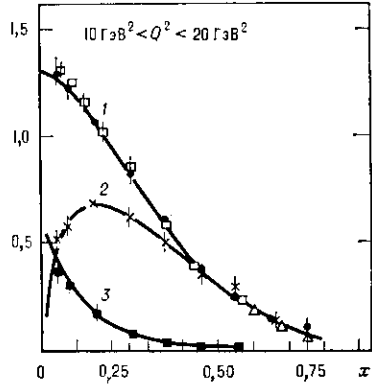


Рис. 3. Зависимость структурных ф-ций глубоко неупругого процесса ν -рассеяния от переменной x (данные разных эксперим. групп). 1 — ф-ция $F_2^\nu(x) = x[u + \bar{u} + d + \bar{d} + s/(s + \bar{s})]$; 2 — ф-ция $x F_3^\nu(x) = x(u - \bar{u} + d - \bar{d})$; 3 — ф-ция $q(x) = x \times x(\bar{u} + \bar{d} + 2s)$.

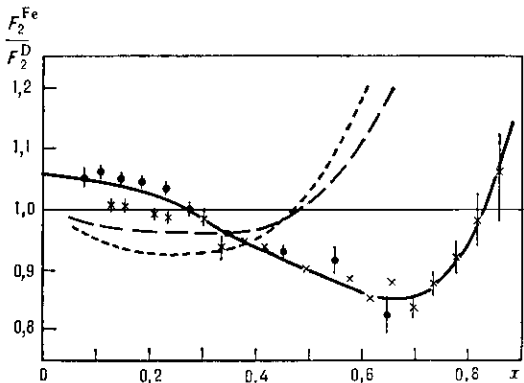


Рис. 4. Отношение структурных функций ядер железа и дейтерия, поделённых на соответствующие массивные числа (кружки — данные НА-4 в ЦЕРН, крестики — данные СЛАК). Тонкие линии — результаты расчётов в различных нуклонных моделях ядра без учёта малонуклонных корреляций (пунктирная линия) и с его учётом (штриховая линия). Сплошная кривая — учёт 2%-ного содержания эффективных нуклон-антинуклонных пар.

изменением странности, пропорциональным величине $\sin^2 \theta_C \approx 0,04$, где θ_C — Каббобо угол) сечения имеют вид

$$\frac{d\sigma}{dx dy} = \sigma_0 \begin{cases} [d(x, Q^2) + (1-y)^2 \bar{u}(x, Q^2)] & \text{для } \nu_p\text{-рас-} \\ & \text{сеяния} \\ [\bar{d}(x, Q^2) + (1-y)^2 u(x, Q^2)] & \text{для } \bar{\nu}_p\text{-рас-} \\ & \text{сеяния.} \end{cases}$$

Здесь $\sigma_0 = 1,5 \cdot 10^{-38} \mathcal{E}/\text{см}^2$, \mathcal{E} — энергия нейтрино (антинейтрино) в ГэВ. Разная зависимость от $(1-y)^2$ у двух слагаемых позволяет различить функции $d(x, Q^2)$ от $\bar{u}(x, Q^2)$ и $\bar{d}(x, Q^2)$ от $u(x, Q^2)$ и делает процессы νp - и $\bar{\nu} p$ -рассеяния наилучшим средством для эксперим. измерения этих ф-ций распределения. Примерный вид этих ф-ций представлен на рис. 3.

Большой интерес представляет также Г. н. п. на атомном ядре как один из осн. процессов *релятивистической ядерной физики*. Он даёт не усреднённый по ядерному времени $\tau_{яд} \approx 1/m_\pi$ (где m_π — масса пиона), а «моментальный снимок» квартовой структуры ядра. На рис. 4 показано поведение отношения структурных ф-ций ядер железа и дейтерия (делённых на соответствующие массивные числа) и сравнение их с предсказаниями стандартной теории ядра, «построенного» из нуклонов, без учёта и с учётом малонуклонных корреляций. Расхождение теории с экспериментом можно интерпретировать либо как изменение структуры нуклона внутри ядра, либо как наличие в ядре ненуклонных степеней свободы (пионов, нуклон-антинуклонных пар, многоквартовых флюктуонов Блохи и цева).

Лит.: Дрел Л. С., Партоны и глубоко неупругие процессы при высоких энергиях, пер. с англ., «УФН», 1972, т. 106, с. 331; Фейнман Р., Взаимодействие фотонов с адронами, пер. с англ., М., 1975; Окуни Л. Б., Лептоны кварты, М., 1981; Жакоб М., Ландштадф П., Внутренняя структура протона, пер. с англ., «УФН», 1981, т. 133, с. 505.

А. В. Ефремов.

ГЛЮБОЛ (глюоний) — гипотетич. мезон, построенный из глюонов, подобно тому, как π - или ρ -мезоны построены из кварка и антикварка. Поскольку в квантовой хромодинамике (КХД) векторные частицы — глюоны присутствуют наравне с кварками, можно предполагать, что Г. существует и его спектр не беднее спектра обычных кварк-антикварковых мезонов (кварконы). Глюоны характеризуются спином и цветом и не имеют др. квантовых чисел. Согласно обычным представлениям о невылетании цвета (см. Удержание цвета), все адроны можно считать синглетами по отношению к цветовой группе (бесцветными), поэтому разл. Г. могут отличаться только спином и массой. С теоретич. точки зрения, идентификация адронов с Г. кажется достаточ- но трудной, т. к. невозмож- сно указать распады или др. свойства Г., к-рые заведомо отличали бы его от кварко- ния с теми же квантовыми числами. Проблема услож- няется тем, что в известных (наблюдавшихся) адронах замотным может быть смешивание глюонных и кварко- вых состояний. Всё же можно ожидать наиб. интенсив- ного рождения Г. в тех реакциях и распадах, в к-рых на малых расстояниях образуются не кварки, а глюоны. Примерами могут служить распады тяжёлых мезонов типа Φ или Γ . Так, согласно КХД, распад $\Phi \rightarrow \gamma + X$ (где γ — фотон, X — адронное состояние) идёт через аннигиляцию пары очарованных кварка-антикварка ($c\bar{c}$) в два глюона (g) и фотон (рис.). В этих распадах обнаружены резонансы с массами 1440 МэВ и 1700 МэВ (ψ - и θ -частицы), к-рые отличаются по свойствам от известных мезонов и рассматриваются как первые кандидаты в Г.

Изучение свойств Г. может служить критичной про- веркой разл. моделей адронов. Так, в пределе большого числа цветов ($N_c \rightarrow \infty$) Г. представляет собой стабильные (с бесконечно узкой шириной) мезоны, смешивания с кварковыми состояниями нет. Относительно масс низших глюонных состояний можно получить определ. предсказания в рамках КХД с помощью числ. расчётов на ЭВМ. Характерный масштаб масс оказывается при этом порядка 1,5 ГэВ. Существует также предположение, что ψ' -мезон с массой 960 МэВ значительно тяжелее др. псевдоскалярных мезонов (π, K, η) именно из-за примеси глюонного состояния в его волновой ф-ции, несмотря на то, что эта примесь невелика. Если верна последняя точка зрения, то следует ожидать, что характерный масштаб масс Г. заметно больше, чем кварковых резонансов.

Лит.: Вайнштейн А. И. и др., Квантовая хромодинамика и масштабы адронных масс, «ЭЧАЯ», 1982, т. 13, с. 542.

В. И. Захаров.